

甲苯噻嗪通过抑制超极化激活环核苷酸门控离子通道电流产生镇痛作用机制研究*

陈峰峰¹, 黎磊¹, 陈向东^{2△}, 周诚³, 廖大清³

1. 四川大学华西医院 华西磁共振研究中心(成都 610041);
2. 华中科技大学同济医学院协和医院 麻醉与危重病医学研究所 麻醉科(武汉 430022);
3. 四川大学华西医院 麻醉与危重急救研究室(成都 610041)

【摘要】目的 探讨甲苯噻嗪(xylazine, Xyl)通过抑制超极化激活环核苷酸门控阳离子通道(hyperpolarization-activated cyclic nucleotide-gated, HCN)电流产生镇痛作用的机制。**方法** 对 HCN 亚型通道 1(HCN1)基因敲除小鼠(HCN1^{-/-})及 HCN1 野生型小鼠(HCN1^{+/+})分别腹腔注射生理盐水及 Xyl(10、20、30 和 40 mg/kg), 通过进行机械痛觉测试及甩尾试验方法检测 Xyl 的镇痛效果, 计算出最大镇痛效应百分比(percent maximum possible effect, %MPE); HEK 293 细胞转染 HCN1 质粒和 HCN 亚型通道 2(HCN2)质粒, 分为对照组及不同浓度 Xyl(12.5、25、50 和 100 μmol/L)实验组, 利用全细胞膜片钳记录表达 HCN1 和 HCN2 离子通道的 HEK 293 细胞超极化激活电流(hyperpolarization-activated currents, I_h), 计算 Xyl 对 I_h 的抑制率。**结果** HCN1^{+/+} 小鼠和 HCN1^{-/-} 小鼠注射 Xyl 后对机械痛觉刺激和热辐射刺激反应的 %MPE 均为随着 Xyl 质量浓度增加而加大, 当 Xyl 质量浓度为 30 mg/kg 及 40 mg/kg 时, HCN1^{-/-} 小鼠机械痛觉刺激测试的 %MPE 为(62.06±14.72)% 和(69.92±16.09)%; 甩尾试验 %MPE 为(52.50±1.97)% 和(64.74±6.34)%。HCN1^{+/+} 小鼠机械痛觉刺激测试的 %MPE 为(75.47±8.06)% 和(86.35±11.31)%; 甩尾试验 %MPE 为(57.83±4.82)% 和(74.98±9.35)%。等量 Xyl 对 HCN1^{+/+} 小鼠与 HCN1^{-/-} 小鼠的镇痛作用(机械痛觉刺激和甩尾试验)差异有统计学意义($P<0.05$)。全细胞膜片钳试验结果显示, Xyl 对 HCN1 及 HCN2 离子通道电流均产生了抑制作用, Xyl(12.5~100 μmol/L)对 HCN1 的 I_h 的抑制率为(24.62±23.62)%~(62.40±15.48)%; HCN1 的半数激活电压($V_{1/2}$)为:(-79.58±1.56) mV~(-98.95±3.57) mV。Xyl 对 HCN2 的 I_h 的抑制率为(29.19±17.82)%~(80.02±6.64)%; HCN2 的 $V_{1/2}$ 为:(-102.17±1.36) mV~(-117.48±2.38) mV。**结论** Xyl 对 HCN1^{+/+} 小鼠的镇痛效果比 HCN1^{-/-} 小鼠更好。Xyl 可能是通过抑制 HCN 离子通道电流, 从而产生镇痛作用。

【关键词】 甲苯噻嗪 超极化激活环核苷酸门控离子通道 α_2 -肾上腺素受体激动剂 镇痛

Xylazine Produced Analgesic Effect via Inhibits Hyperpolarization-activated Cyclic Nucleotide-gated Ion Channels Currents CHEN Feng-feng¹, LI Lei¹, CHEN Xiang-dong^{2△}, ZHOU Cheng³, LIAO Da-qing³. 1. Huaxi MR Research Center (HMRRC), West China Hospital, Sichuan University, Chengdu 610041, China; 2. Department of Anesthesiology, Institute of Anesthesiology and Critical Care Medicine, Union Hospital of Tongji Medical College, Huazhong University of Science and Technology, Wuhan 430022, China; 3. Laboratory of Anesthesia and Critical Care Medicine, West China Hospital, Sichuan University, Chengdu 610041, China

△ Corresponding author, E-mail: xiangdongchen2013@163.com

【Abstract】Objective To investigate the analgesic mechanism of xylazine by inhibiting the activation of hyperpolarized cyclic nucleotide-gated (HCN) ion channels. **Methods** HCN subchannel 1 (HCN1) knockout mice (HCN1^{-/-}) and HCN1 wild type mice (HCN1^{+/+}) were intraperitoneally injected with physiological saline and xylazine (10, 20, 30, and 40 mg/kg). Mechanical pain test and tail flick test were used to test the analgesic effect of xylazine by using the percentage of the maximal possible effect (%MPE); The control group and test groups of different concentrations of xylazine (12.5, 25, 50, and 100 μmol/L) were set up using HEK 293 cells transfected HCN1 plasmid and HCN subchannel 2 (HCN2) plasmid, respectively. The activated current of hyperpolarized HEK 293 cells expressing HCN1 and HCN2 ion channels and the inhibition rate of xylazine on hyperpolarization-activated currents were recorded using a whole cell patch clamp. **Results** The results demonstrated that %MPE of the mechanical pain stimuli test and the thermal radiation stimuli test increased with the higher concentration of xylazine injected for both HCN1^{+/+} mice and HCN1^{-/-} mice. When injecting xylazine by 30 mg/kg and 40 mg/kg,

* 国家自然科学基金(No. 81401139)资助

△ 通信作者, E-mail: xiangdongchen2013@163.com

the %MPE of mechanical pain stimuli test for HCN1^{-/-} mice were %MPE=(62.06±14.72)% and %MPE=(69.92±16.09)%, respectively; and the percentages of tail flick tests were (52.50±1.97)% and %MPE=(64.74±6.34)%, respectively. But for HCN1^{+/+} mice, the percentages of mechanical pain stimuli test were %MPE=(75.47±8.06)% and %MPE=(86.35±11.31)%; respectively, and the percentage of tail flick tests were %MPE=(57.83±4.82)% and (74.98±9.35)%. The analgesic effect results of the mechanical pain test and tail flick test of HCN1^{+/+} mice were significantly different from HCN1^{-/-} mice ($P<0.05$). Whole-cell patch clamp test results showed that xylazine had inhibitory effects on the currents of HCN1 and HCN2 ion channels, and the hyperpolarization-activated currents inhibition rate of HCN1 by xylazine (12.5-100 μmol/L) was between (24.62±23.62)%-(62.40±15.48)%; $V_{1/2}$ of HCN1 was between (-79.58±1.56) mV-(-98.95±3.57) mV. The I_h inhibition rate of HCN2 by xylazine (12.5-100 μmol/L) was between (29.19±17.82)%-(80.02±6.64)%; with $V_{1/2}$ of HCN2 between (-102.17±1.36) mV-(-117.48±2.38) mV. **Conclusion** Xylazine showed better analgesic effect on HCN1^{+/+} mice than HCN1^{-/-} mice. Xylazine can produce analgesic effect by inhibiting HCN ion channel currents.

【Key words】 Xylazine Hyperpolarization-activated cyclic nucleotide-gated ion channels α_2 -adrenergic receptor agonist Analgesia

甲苯噻嗪(Xylazine, Xyl)是一种具有镇静、镇痛及中枢性肌肉放松作用的 α_2 -肾上腺素受体激动剂^[1],是动物常用的制动剂和麻醉诱导剂。 α_2 -肾上腺素受体激动剂因其具有神经保护、心脏保护及镇静镇痛等作用,并能增强其它注射麻醉剂和吸入麻醉剂的麻醉效果,故在临床麻醉的应用越来越广泛^[2]。 α_2 -肾上腺素受体广泛分布于外周神经及中枢神经系统,而目前对 α_2 -肾上腺素受体激动剂通过对中枢神经系统的离子通道产生镇静、镇痛的作用机制还不是非常明确。超极化激活环核苷酸门控阳离子通道(hyperpolarization-activated cyclic nucleotide-gated, HCN)因其独特的电生理学特性,在心脏的起搏和神经系统中起着重要作用^[3]。相关研究表明,麻醉药品可通过抑制HCN离子通道电流,从而产生麻醉效用^[4]。为了解Xyl是否通过HCN离子通道发挥镇痛作用,本研究通过对HCN亚型通道1(HCN1)基因敲除小鼠(HCN1^{-/-})及HCN1野生型小鼠(HCN1^{+/+})腹腔注射Xyl,观察其对小鼠的镇痛效果,并利用全细胞膜片钳技术,观察Xyl对表达HCN1和HCN亚型通道2(HCN2)的HEK 293细胞超极化激活电流(hyperpolarization-activated currents, I_h)抑制率的影响,进一步探讨Xyl镇痛作用的可能机制。

1 材料与方法

1.1 实验动物

HCN1基因敲除小鼠(HCN1^{-/-})和HCN1野生型小鼠(HCN1^{+/+})通过由HCN1^{-/-}小鼠^[5-6](美国弗吉尼亚大学药理学系馈赠)与C57BL/6小

鼠杂交繁殖后,获得的同窝次小鼠,并通过利用实时定量PCR技术^[7]鉴定区别HCN1^{-/-}小鼠或HCN1^{+/+}小鼠。小鼠体质量20~25 g,8~12周龄。小鼠饲养条件为每笼5只,室温(22±3)℃,湿度为40%~60%,12 h的黑白交替群居饲养,自由摄入食物和水。

1.2 细胞和主要试剂

HEK 293细胞、HCN1质粒和HCN2质粒(美国弗吉尼亚大学药理学系馈赠)。DMEM/F12细胞培养基、Lipofectamine 2000、胎牛血清、GFP质粒(Gibco公司)。实验中的动物用药品均使用生理盐水溶解。Xyl、进行全细胞膜片钳电生理记录实验时使用的化学试剂均购自Sigma公司。

1.3 动物分组及给药

HCN1^{-/-}小鼠和HCN1^{+/+}小鼠均随机分为5组(每组8只):Xyl 10、20、30、40 mg/kg组和生理盐水组,小鼠按分组分别腹腔注射给药。

1.4 机械痛觉测试

通过使用Von Frey纤维丝(Ugo Basile, Comerio, Italy)对受试小鼠进行测试,评估动物的机械触诱发痛阈。受试小鼠分别被单独放在腹侧可允许通过Von Frey纤维丝的金属网,其它侧面为透明有机玻璃的盒子内(盒子规格:9 cm×7 cm×11 cm)。在进行测试前,提前30 min将老鼠放置好以便其适应实验环境。实验根据up-down法推算50%缩足反射阈值^[8],利用Von Frey纤维丝垂直刺激小鼠右侧后肢足底中间部位,持续时间≤5 s。老鼠出现抬足、振动后肢或舔足现象,则判定为阳性反应。测试首先从最小刺激强度4.08 mN(1 g)开始,

如若不能引起阳性反应，则改为相邻大一级力度的刺激；如出现阳性反应则改为相邻小一级力度的刺激，反复连续测试，直至出现第一次阳性和阴性反应的骑跨，连续测定 3 次，每次间隔 5 min，取平均值为阈值。机械痛觉阈值结果换算成最大镇痛效应百分比(percent maximum possible effect, %MPE)，换算公式： $\%MPE = (\text{实测值} - \text{基础值}) / (\text{最大值} - \text{基础值}) \times 100\%$ 。为了避免老鼠足底受到伤害，如果老鼠足底受到 5.07 mN(10 g) 刺激仍无阳性反应，则终止机械刺激，最高值记为 5.07 mN(10 g)。

1.5 甩尾测试

通过甩尾实验(tail flick test)评估动物对热刺激疼痛反应。老鼠尾部被轻放在甩尾测试设备上(Ugo Basile, Comerio, Italy)，辐射热源会产生光束照射到老鼠尾巴上，热刺激使其产生疼痛感，从刺激开始记录老鼠甩尾反应的时间，作为痛阈指标。实验动物提前 30 min 放置实验场地适应。参照之前实验^[9]，热源强度 90，为了避免实验动物组织受到损伤，当动物在受到刺激时间达到 12 s 时，仍无甩尾反应，则终止热源刺激，最终记录为 12 s。连续刺激 3 次，每次间隔 5 min，取平均值作为阈值强度。甩尾测试潜伏时间结果换算成 %MPE，方法与 1.4 所述相同。

1.6 构建 HCN 离子通道

培养 HEK 293 细胞，利用 Lipofectamine 2000，结合 GFP 质粒，HCN1 质粒和 HCN2 质粒分别通过瞬时转染构建 HCN 离子通道^[10]。在转染 12~24 h 后，利用全细胞膜片钳记录 HEK 293 细胞 HCN 离子通道电流。

1.7 膜片钳电流记录

在室温条件下，利用标准微电极(3~5 MΩ)和 Axopatch 200B 放大器对转染好的 HEK 293 细胞进行全细胞膜片钳记录实验^[11]。细胞外液(mmol/L): 140 NaCl, 3 KCl, 10 HEPES, 2 MgCl₂, 2 CaCl₂, 10 glucose，利用 NaOH 将 pH 值调至 7.3，并保证细胞外液以 2 mL/min 的速度对测试细胞持续进行流动灌注；细胞内液(mmol/L): 4 NaCl, 120 KCH₃SO₃, 10 EGTA, 10 HEPES, 1 MgCl₂, 0.5 CaCl₂, 3 Mg-ATP, 0.3 GTP-Tris，利用 KOH 将 pH 值调至 7.2。选取有绿色荧光，表面光滑，稳定不动的细胞进行记录。

1.8 数据采集及分析

通过利用 pCLAMP 软件和 Digidata 1322A 数字转换器(Axon instruments, Foster City, CA,

USA) 进行数据采集及分析。保持电位为 -40 mV，由 -40 mV 开始，每隔 3~4 s 增加 -10 mV，利用电压钳记录随时间变化的 I_h ，随后立刻将电压固定在 -90 mV，记录尾电流。在完整记录了基础电流后，分别给予浓度为 12.5、25、50 和 100 μmol/L 的 Xyl，记录药品对 I_h 电流的抑制情况，并计算出不同浓度的药品对 I_h 抑制率，抑制率 = (给药前 I_h - 给药后 I_h) / 给药前 I_h 。在超极化电压步骤结束后，每一个电势下的电流幅值被看作是随时间变化的电流，超极化电压最高升至 -130 mV。完整的测量尾电流，在其最大值及最小值之间进行归一化处理，并代入 Boltzmann 曲线方程，用于激活参数半数激活电压($V_{1/2}$)和曲线斜率因子(k)的推导^[11]。

1.9 统计学方法

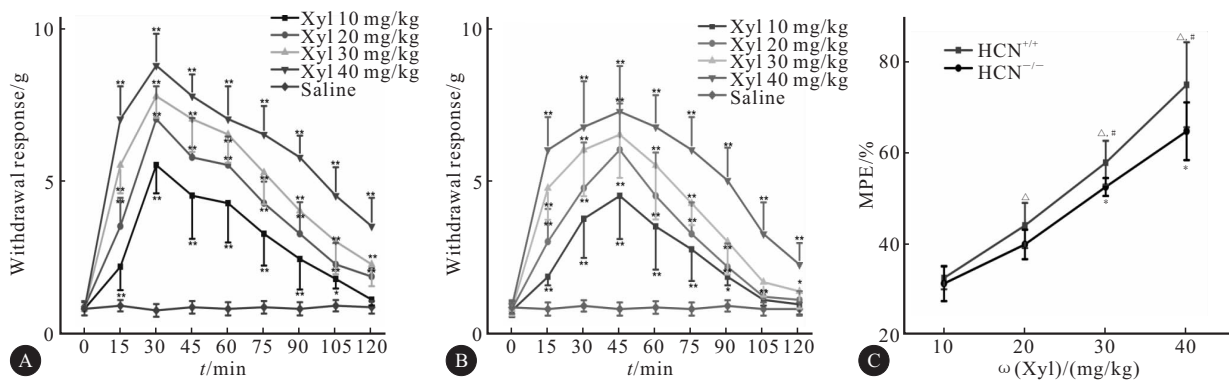
计量资料以 $\bar{x} \pm s$ 表示。采用单因素、双因素方差分析，*t* 检验分析， $P < 0.05$ 为差异有统计学意义。

2 结果

2.1 Xyl 对 HCN1^{+/+} 和 HCN1^{-/-} 小鼠机械刺激痛觉的影响

见图 1A、图 1B。HCN1^{+/+} 小鼠在注射 Xyl 30 min 内、HCN1^{-/-} 小鼠在 45 min 内对机械刺激痛觉阈值增高，然后逐渐下降。HCN1^{+/+} 小鼠在注射 Xyl 120 min 时间内，除 Xyl 质量浓度为 10 mg/kg、在第 120 min 时痛觉阈值与生理盐水组比较差异无统计学意义($P > 0.05$)外，其余不同质量浓度 Xyl 组 HCN1^{+/+} 小鼠、不同时间点痛觉阈值与生理盐水组比较差异均有统计学意义($P < 0.05$)。而 HCN1^{-/-} 小鼠在注射 Xyl 10 mg/kg 和 20 mg/kg 组、注射后 105 min 及 120 min 时间点，痛觉阈值与生理盐水组比较差异无统计学意义($P > 0.05$)。

HCN1^{+/+} 小鼠和 HCN1^{-/-} 小鼠注射 Xyl 后对 Von Frey 纤维丝机械刺激反应的 %MPE 均为随着 Xyl 质量浓度增加而加大，在 Xyl 质量浓度为 30、40 mg/kg 时，HCN1^{+/+} 小鼠 %MPE 为 (75.47 ± 8.06)% 和 (86.35 ± 11.31)%，高于 HCN1^{-/-} 小鼠的 (62.06 ± 14.72)% 和 (69.92 ± 16.09)%，差异有统计学意义($P < 0.05$)，其余两组比较差异无统计学意义。HCN1^{+/+} 小鼠各浓度组组内比较，差异均有统计学意义($P < 0.05$)。而 HCN1^{-/-} 小鼠组内不同 Xyl 浓度组间比较，仅 Xyl 质量浓度为 30、40 mg/kg 与 10 mg/kg 组比较，差异具有统计学意义($P < 0.05$)，见图 1C。

图 1 Xyl 对小鼠机械痛觉阈值和%MPE 的影响($\bar{x} \pm s, n=8$)Fig 1 Effect of Xyl on mechanical pain threshold and %MPE in mice ($\bar{x} \pm s, n=8$)

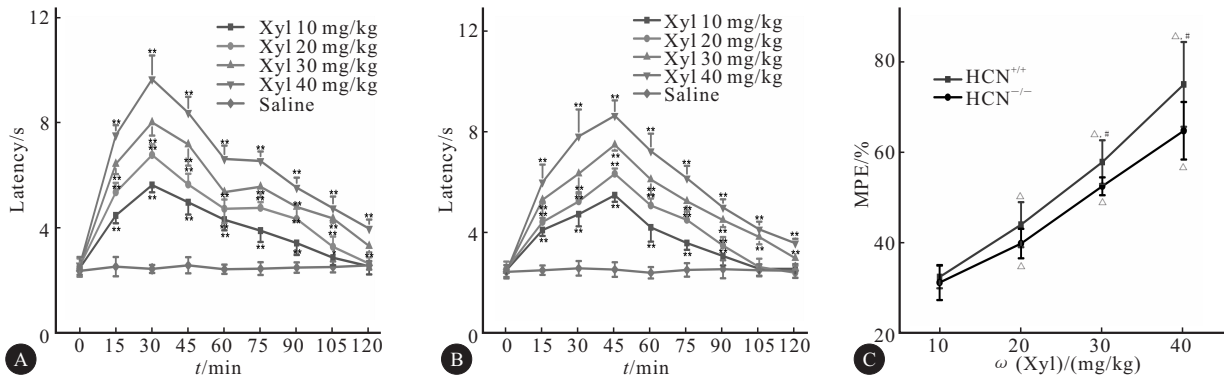
A: HCN1^{+/+} mice; B: HCN1^{-/-} mice. * $P < 0.05$, ** $P < 0.01$, vs. saline group. C: %MPE. △ $P < 0.01$, vs. adjacent concentration interval in the same groups; # $P < 0.01$, vs. HCN1^{-/-} group in same concentration; * $P < 0.01$, vs. 10 mg/kg Xyl in the same group

2.2 Xyl 对 HCN1^{+/+} 和 HCN1^{-/-} 小鼠甩尾测试的影响

见图 2A、图 2B。HCN1^{+/+} 小鼠在注射 Xyl 30 min 内、HCN1^{-/-} 小鼠在 45 min 内对热源辐射刺激反应短时间增高，然后逐渐下降。HCN1^{+/+} 小鼠在注射 Xyl 10 mg/kg 与 20 mg/kg 组、注射后 120 min 时，与生理盐水组比较差异无统计学意义 ($P > 0.05$)。HCN1^{-/-} 小鼠在 Xyl 10 mg/kg 与 20 mg/kg 组、注射后 105 min 和 120 min 时，与生理

盐水组比较差异无统计学意义 ($P > 0.05$)。

HCN1^{+/+} 小鼠和 HCN1^{-/-} 小鼠注射 Xyl 后对热辐射刺激反应的 %MPE 均为随着 Xyl 质量浓度增加而加大，见图 2C。在 Xyl 质量浓度为 30 mg/kg 和 40 mg/kg 时，HCN1^{+/+} 小鼠 %MPE 为 (57.83 ± 4.82)% 和 (74.98 ± 9.35)% 高于 HCN1^{-/-} 小鼠的 (52.50 ± 1.97)% 和 (64.74 ± 6.34)%，差异有统计学意义 ($P < 0.05$)。HCN1^{+/+} 小鼠和 HCN1^{-/-} 小鼠各浓度组内对比时，差异

图 2 Xyl 对小鼠甩尾测试和%MPE 的影响($\bar{x} \pm s, n=8$)Fig 2 Effect of Xyl on the tail swaying test and %MPE in mice ($\bar{x} \pm s, n=8$)

A: HCN1^{+/+} mice; B: HCN1^{-/-} mice; C: %MPE. * $P < 0.05$, ** $P < 0.01$, vs. saline group; △ $P < 0.01$, adjacent concentration interval in the same groups; # $P < 0.01$, vs. HCN1^{-/-} group in same concentration

均有统计学意义 ($P < 0.05$)。

2.3 Xyl 对 HEK 293 细胞 HCN 离子通道电流的影响

HEK 293 细胞的 HCN1、HCN2 离子通道记录见图 3。在给予超极化电压为 -130 mV 时，HCN1 的 I_h 为 (-1391.99 ± 248.76) pA $\sim (-467.21 \pm 141.28)$ pA；HCN2 的 I_h 为 (-1165.97 ± 316.36)

pA $\sim (-237.80 \pm 56.47)$ pA。见图 4。

Xyl 对 HCN1 和 HCN2 离子通道 I_h 的抑制率见图 5。可见在 Xyl 12.5~100 μ mol/L 浓度范围内，随着 Xyl 浓度加大，对 HCN1 和 HCN2 离子通道 I_h 的抑制率均上升，对 HCN2 离子通道 I_h 的抑制作用大于对 HCN1 离子通道，在 Xyl 50、100 μ mol/L 时两通道 I_h 抑制率差异有统计学意

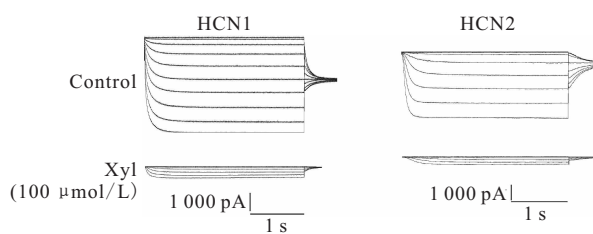


图 3 Xyl 抑制 HEK 细胞 HCN 离子通道电流记录图

Fig 3 The record figure of xylazine inhibits HCN ion channel currents

Sample currents from HEK 293 cells expressing HCN1 and HCN2 channel constructs evoked by hyperpolarizing voltage steps from -40 mV to -130 mV , before (top) and during exposure to $100\text{ }\mu\text{mol/L}$ xylazine (bottom). Conditioning voltage steps were followed by a step to -90 mV for tail current analysis

义($P<0.05$)。

为了确定 Xyl 对 I_h 电压依赖性激活的影响,通过对尾电流分析,利用 Boltzmann 方程构建激活曲线。在转染了 HCN1 和 HCN2 亚型离子通道的 HEK 293 细胞,加入 Xyl($12.5\sim100\text{ }\mu\text{mol/L}$)后, I_h 激活曲线呈现出与剂量正相关性的往左侧移动的趋势(图 6)。HCN1 的 $V_{1/2}$ 分别为: $(-79.58\pm1.56)\text{ mV}\sim(-98.95\pm3.57)\text{ mV}$; 而 HCN2 的 $V_{1/2}$ 分别为: $(-102.17\pm1.36)\text{ mV}\sim(-117.48\pm2.38)\text{ mV}$ 。经统计学分析, HCN1 及 HCN2 的 $V_{1/2}$, 在给予甲苯噻嗪($12.5\sim100\text{ }\mu\text{mol/L}$)后, 与对照组比较差异均有统计学意义($P<0.05$)。

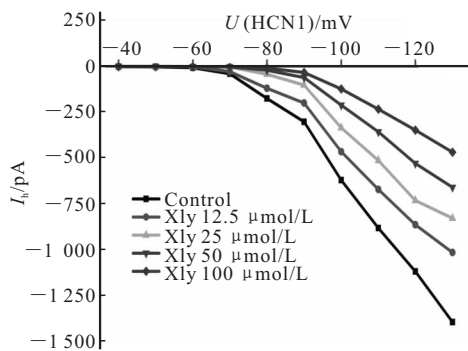


图 4 Xyl 抑制 HEK 细胞 HCN 离子通道的 I-V 曲线($n=6$)

Fig 4 I - V curves of xylazine inhibits HCN ion channels ($n=6$)

Steady state I-V curves from currents at the end of the voltage steps under control conditions, and during exposure to $12.5\text{ }\mu\text{mol/L}$ - $100\text{ }\mu\text{mol/L}$ xylazine for HCN1, HCN2 constructs

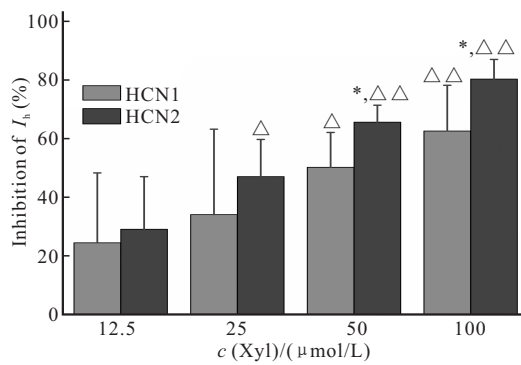
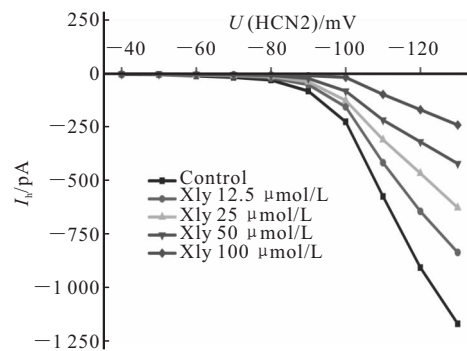


图 5 Xyl 对 HCN 离子通道电流抑制率($n=6$)

Fig 5 The inhibition rate of HCN ion channel by xylazine ($n=6$)

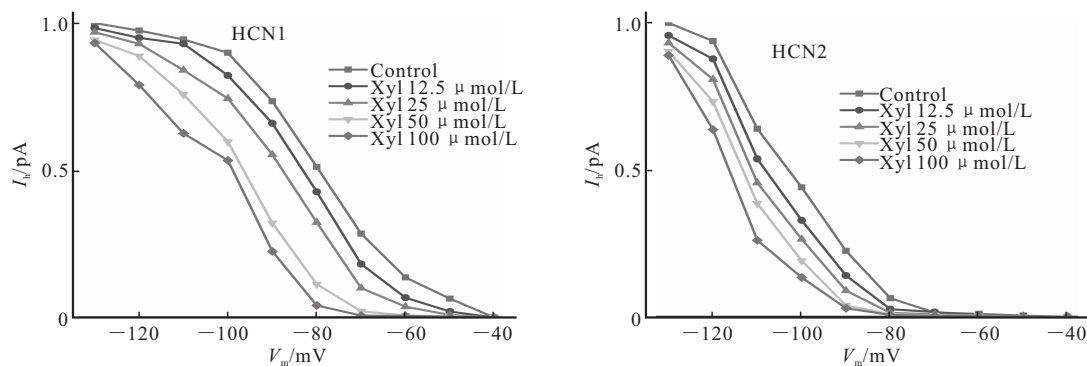
* $P<0.05$, vs. HCN1; $\triangle P<0.05$, $\triangle\triangle P<0.01$, adjacent concentration interval in the same groups

进行动物行为学的机械痛觉阈值测试和甩尾实验,发现在注射了同等剂量的 Xyl 后,与 $\text{HCN}1^{+/+}$ 小鼠相比, $\text{HCN}1^{-/-}$ 小鼠对疼痛的敏感性能在更短的时间内恢复到正常水平。而 $\text{HCN}1^{+/+}$ 小鼠与 $\text{HCN}1^{-/-}$ 小鼠对机械刺激及甩尾实验 % MPE 比较,在 Xyl 的注射剂量为 30 mg/kg 及 40 mg/kg 时,差异有统计学意义,结果证明 Xyl 对 $\text{HCN}1^{+/+}$ 小鼠的镇痛效果更好。

HCN 离子通道家族由 4 个不同亚型组成(HCN1~HCN4),在神经系统中广泛存在,不同的亚型表现出不同的特性。HCN1 亚型离子通道主要分布在大脑皮质、海马及小脑部位; HCN2 亚型离子通道则在整个大脑区域及脊柱神经均有表达;而 HCN3 及 HCN4 在神经元上分布较少^[4]。疼痛产生的机制比较复杂,而神经元的异常放电是诱发和传导疼痛的主要机制之一。相关的研究表明, HCN 离子通道可以调节神经末梢的放电频率,其

3 讨论

本研究首先通过对 $\text{HCN}1^{-/-}$ 和 $\text{HCN}1^{+/+}$ 小鼠

图 6 Xyl 对 HCN 离子通道激活曲线的影响($n=6$)Fig 6 Effect of xylazine on the HCN ion channel activation curve ($n=6$)

Activation curves were fitted according to the Boltzmann equation to normalized, determine from averaged tailcurrents. The results of the control group and test groups of different concentrations of $\text{HCN}1^{+/+}$ mice were significantly different from $\text{HCN}1^{-/-}$ mice ($P<0.05$). V_m : Voltage maximum

介导 I_h 可使细胞膜的静息电位受到影响, 调节神经元兴奋性, HCN 离子通道在疼痛产生中扮演了关键的角色^[12-13]。JIANG 等^[14] 的研究也发现 HCN1 和 HCN2 离子通道在疼痛的发生和发展中起着重要作用, 因此在本次研究中我们选择了 HCN1 和 HCN2 两个亚型的离子通道对 Xyl 的镇痛作用机制进行试验。

在全细胞电压膜片钳记录 HCN 离子通道电流的实验中, 本研究结果发现, Xyl 使 HCN1 和 HCN2 两个亚型的离子通道电流减小, I_h 激活曲线整体左移, 证明 Xyl 对 HCN 离子通道的电流产生了抑制作用。大量的研究^[9,15] 发现, 当使用 HCN 离子通道特异性阻断剂 ZD7288 对实验对象给药后, 镇痛效果有显著改善。而一些临床常见的麻醉、镇痛药如异丙酚、氯胺酮, 及属于 α_2 -肾上腺素受体激动剂中的可乐定、右美托咪定等均发现具有抑制的 I_h 作用^[16], 这些研究结果认为 I_h 在神经病理性疼痛产生的机制中起着至关重要的作用。本研究中, Xyl 使 I_h 激活曲线整体左移, HCN 离子通道被抑制, 意味着减少了 HCN 离子通道在静息状态下打开的可能性, 异常放电被抑制, 降低了神经元的兴奋性, 这与 YAGI 等^[17] 利用可乐定抑制抑制超极化激活电流的结果相似。本研究结合电生理试验结果与动物行为学实验发现, Xyl 对 $\text{HCN}1^{-/-}$ 和 $\text{HCN}1^{+/+}$ 小鼠均有镇痛效果, 由于 $\text{HCN}1^{+/+}$ 小鼠体内的 HCN1 离子通道被 Xyl 抑制, 神经元兴奋性降低, $\text{HCN}1^{+/+}$ 小鼠对机械痛觉刺激及热刺激的疼痛敏感性降低, 故 Xyl 对 $\text{HCN}1^{+/+}$ 小鼠上产生的镇痛效果更好。Xyl 对 $\text{HCN}1^{-/-}$ 小鼠的镇痛作用, 原因可

能是由于 Xyl 通过对 $\text{HCN}1^{-/-}$ 小鼠的 HCN2 离子通道进行抑制, 从而产生镇痛效果。虽然这个推论没有在 HCN2 基因敲除的小鼠身上得到验证, 但膜片钳记录在记录 Xyl 作用于 HCN2 离子通道的电流时, 确定了其对电流的抑制作用。

HCN 离子通道只有在细胞膜电位超极化时才可被激活开放, 除了膜电位超极化这必要条件外, HCN 离子通道的开放及 I_h 的大小, 还受环核苷酸、磷酸肌醇、蛋白激酶、细胞内外离子浓度等多种因素调节^[3]。在本次研究中, 我们并没有进行 Xyl 是如何对 HCN 离子通道产生抑制作用的更深入研究, 这是本研究的不足之处, 尚需进行进一步的研究。但是通过本研究, 发现 α_2 -肾上腺素受体激动剂 Xyl 对 HCN 离子通道的 I_h 抑制, 从而产生镇痛作用, 使我们对 α_2 -肾上腺素受体激动剂这一类药物的镇痛作用机制有了进一步的了解, 相信该发现将有助于其成为治疗疼痛的一种新的治疗药品, HCN 离子通道也有望成为未来开发研究镇痛药物新的作用靶点。

参 考 文 献

- [1] PARK JW, CHUNG HW, LEE EJ, et al. α_2 -Adrenergic agonists including xylazine and dexmedetomidine inhibit norepinephrine transporter function in SK-N-SH cells. Neurosci Lett, 2013, 541: 184-189 [2018-04-12]. <https://doi.org/10.1016/j.neulet.2013.02.022>.
- [2] FARAG E, ARGALIOUS M, SESSLER DI, et al. Use of α_2 -agonists in neuroanesthesia: an overview. Ochsner J, 2011, 11(1): 57-69.
- [3] BIEL M, WAHL-SCHOTT C, MICHALAKIS S, et al. Hyperpolarization-activated cation channels: from genes to

- function. *Physiol Rev*,2009,89(3): 847-885.
- [4] ZHOU C, LIANG P, LIU J, et al. HCN1 channels contribute to the effects of amnesia and hypnosis but not immobility of volatile anesthetics. *Anesth Analg*, 2015, 121(3):661-666.
- [5] NOLAN MF, MALLERET G, LEE KH, et al. The hyperpolarization-activated HCN1 channel is important for motor learning and neuronal integration by cerebellar Purkinje cells. *Cell*, 2003, 115: 551-564 [2018-04-12]. [https://doi.org/10.1016/S0092-8674\(03\)00884-5](https://doi.org/10.1016/S0092-8674(03)00884-5).
- [6] NOLAN MF, MALLERET G, DUDMAN JT, et al. A behavioral role for dendritic integration: HCN1 channels constrain spatial memory and plasticity at inputs to distal dendrites of CA1 pyramidal neurons. *Cell*, 2004, 119(5): 719-732.
- [7] CHEN X, SHU S, KENNEDY DP, et al. Subunit-specific effects of isoflurane on neuronal i_h in HCN1 knockout mice. *J Neurophysiol*, 2009, 101(1):129-140.
- [8] XIANG Y, LIU T, YANG H, et al. NRG1-ErbB signalling promotes microglia activation contributing to incision-induced mechanical allodynia. *Eur J Pain*, 2015, 19(5):686-694.
- [9] ZHOU C, DOUGLAS JE, KUMAR NN, et al. Forebrain HCN1 channels contribute to hypnotic actions of ketamine. *Anesthesiology*, 2013, 118(4):785-795.
- [10] CHEN X, SHU S, BAYLISS DA. Suppression of i_h contributes to propofol-induced inhibition of mouse cortical pyramidal neurons. *J Neurophysiol*, 2005, 94(6):3872-3883.
- [11] CHEN X, SIROIS JE, LEI Q, et al. HCN subunit-specific and camp-modulated effects of anesthetics on neuronal pacemaker currents. *J Neurosci*, 2005, 25(24):5803-5814.
- [12] AMIR R, KOCSIS JD, DEVOR M. Multiple interacting sites of ectopic spike electrogenesis in primary sensory neurons. *J Neurosci*, 2005, 25(10):2576-2585.
- [13] LEWIS AS, CHETKOVICH DM. HCN channels in behavior and neurological disease: too hyper or not active enough. *Mol Cell Neurosci*, 2011, 46(2):357-367.
- [14] JIANG YQ, XING GG, WANG SL, et al. Axonal accumulation of hyperpolarization-activated cyclic nucleotide-gated cation channels contributes to mechanical allodynia after peripheral nerve injury in rat. *Pain*, 2008, 137(3):495-506.
- [15] ZHOU C, KE BW, ZHAO Y, et al. Hyperpolarization-activated cyclic nucleotide-gated channels may contribute to regional anesthetic effects of lidocaine. *Anesthesiology*, 2015, 122(3):606-618.
- [16] JIANG YQ, SUN Q, TU HY, et al. Characteristics of HCN channels and their participation in neuropathic pain. *Neurochem Res*, 2008, 33(10):1979-1789.
- [17] YAGI J, SUMINO R. Inhibition of a hyperpolarization-activated current by clonidine in rat dorsal root ganglion neurons. *J Neurophysiol*, 1998, 80(3):1094-1104.

(2018-08-27 收稿, 2018-12-14 修回)

编辑 沈进